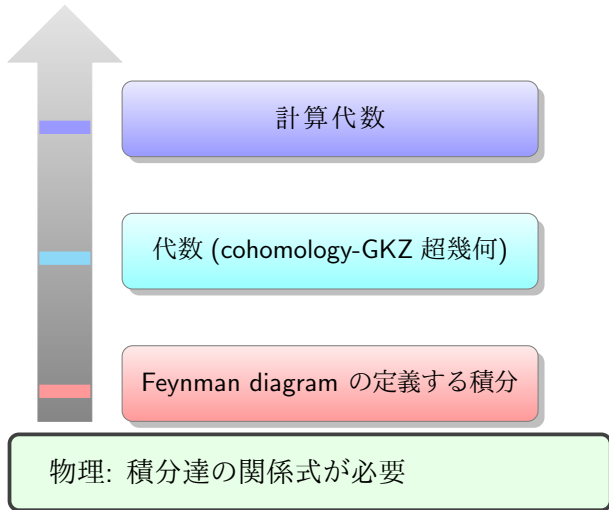


## Feynman 積分を Macaulay matrix で調べる

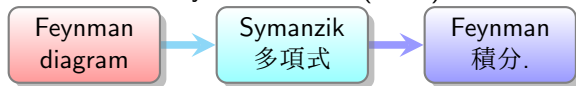
V.Chestnov, F.Gasparotto, M.K.Mandal, P.Mastrolia,  
S.J.Matsubara-Heo, H.J.Munch, N.Takayama, Macaulay Matrix for  
Feynman Integrals: Linear Relations and Intersection Numbers,  
<https://arxiv.org/abs/2204.12983>, to appear in Journal of  
high energy physics.

```
# # #### ##### # # #### ##### #####
## # # # # # # # # # # # # #
# # # # # # # ##### # # # # # # #
# # # # # ##### # # # # # # # #
# ## # # # # # # # # # # # # #
# # #### # # # #### # #####
```

and Henrik Munch.



Lee-Pomeransky の積分表示 (2013).



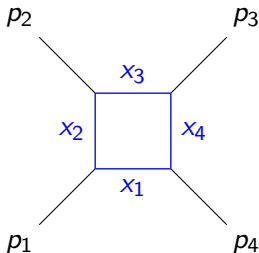
## Example

massless box model.

$$\mathcal{G} = \mathcal{U}_G + \mathcal{F}_G = x_1 + x_2 + x_3 + x_4 + x_1 x_3 + z x_2 x_4$$

$$I(d_0, \nu; z) = \text{const} \cdot (-s)^{d_0/2 - \varepsilon - |\nu|} \cdot \int_{[0, +\infty]^4} \mathcal{G}^{\varepsilon - d_0/2} \prod_{i=1}^4 x_i^{\nu_i} \frac{dx_i}{x_i}$$

$$z = \frac{p_2 \cdot p_3}{p_1 \cdot p_2}, \quad s = 2p_1 \cdot p_2.$$



## Minkowski inner product

$$x \cdot y = x_1 y_1 - x_2 y_2 - x_3 y_3 - x_4 y_4, \quad x^2 = x \cdot x$$

Energy-momentum relation.

$$E^2 - (pc)^2 = (m_0 c^2)^2$$

$(E, -p_1 c, -p_2 c, -p_3 c)$  を  $p$  (momentum) と書くらしい。Massless だと  $p^2 = 0$ 。

$I(d_0, \nu; z)$  を  $z$  について微分していくと  $d_0, \nu_i$  が整数ずれるだけで同じ形.

Fact:  $I$  は  $z$  についての線形常微分方程式を満たす.

この方程式の解の基底を

(物理では) master integrals

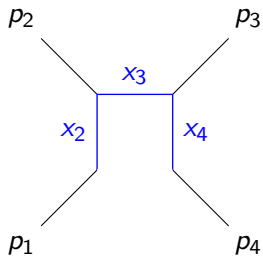
とよぶ. この例は 3 個.

$$(-s)^\epsilon \left( z(-s)I(4, 0, 1, 0, 2), (-s)I(4, 1, 0, 2, 0), \epsilon z(-s)^2 I(4, 1, 1, 1, 1) \right)$$

問題 1: master integrals? その方程式?

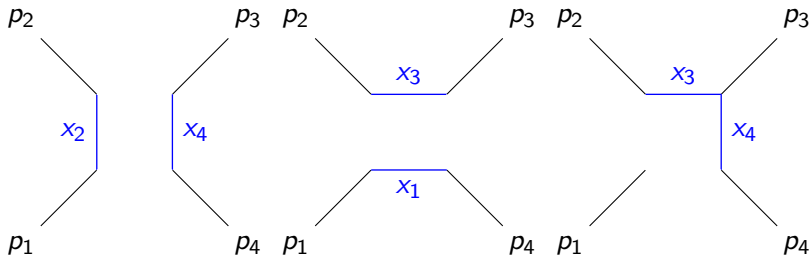
問題 2:  $I(d_i, \nu)$ ,  $\nu_i, d_i \in \mathbb{Z}$  を master integrals で表わす公式?

Diagram から多項式  $G$  をどう作る?



他の3つ略.

$$U_G = U = x_1 + x_2 + x_3 + x_4$$



あと 3 通りは略.

$$\mathcal{F}_G = F = (p_1 + p_2)^2 x_1 x_3 + (p_2 + p_3)^2 x_2 x_4 + p_1^2 x_1 x_2 + \cdots + \left( \sum m_i^2 x_i \right) U$$

ただし  $p_i^2 = m_i^2 = 0$  (massless).

Feynman  
積分



GKZ 超  
幾何積分

Gel'fand-Kapranov-Zelevinsky, 1989–.

$$f_{\Gamma}(\beta; z) = \int_{\Gamma} g(z; x)^{\beta_0} x_1^{-\beta_1} \cdots x_n^{-\beta_n} \frac{dx}{x}, \quad \frac{dx}{x} := \frac{dx_1}{x_1} \wedge \cdots \wedge \frac{dx_n}{x_n}. \quad (1)$$

ここで  $\Gamma$  は *twisted cycle*.  $\beta = (\beta_0, \dots, \beta_n) \in \mathbb{C}^{n+1}$

$$g(z; x) = \sum_{i=1}^N z_i x^{\alpha_i}. \quad (2)$$

$$x^{\alpha_i} := x_1^{\alpha_{i,1}} \cdots x_n^{\alpha_{i,n}}, \quad \alpha_i \in \mathbb{Z}^n \quad (3)$$

$(n+1) \times N$  行列

$$A = (a_1 \ \cdots \ a_N),$$

$a_i$  は列ベクトルで monomial のべき  $\alpha_i$  から  $a_i := (1, \alpha_i)^T$ ,



## Generalized Feynman 積分 (GKZ)

$$I(d_0, \nu; z) := c(d_0, \nu) f_{\Gamma}(\beta), \quad (4)$$

$$f_{\Gamma}(d_0, \nu; z) := \int_{\Gamma} \mathcal{G}(z; x)^{\varepsilon - d_0/2} x_1^{\nu_1 + \varepsilon\delta} \cdots x_n^{\nu_n + \varepsilon\delta} \frac{dx}{x},$$

$$c(d_0, \nu) := \frac{\Gamma(d_0/2 - \varepsilon)}{\Gamma((L+1)(d_0/2 - \varepsilon) - |\nu| - n\varepsilon\delta) \prod_{i=1}^n \Gamma(\nu_i + \varepsilon\delta)},$$

多項式  $\mathcal{G}$  の形

$$\mathcal{G}(z; x) = \sum_{i=1}^N z_i x^{\alpha_i}, \quad \alpha_i \in \mathbb{N}_0^n,$$

あと  $a_i := (1, \alpha_i) \in \mathbb{N}_0^{n+1}$  とおく.

## Example

Massless box (Volume は 3).

$$\mathcal{G}(z; x) = \sum_{i=1}^4 z_i x_i + z_5 x_1 x_3 + z_6 x_2 x_4, \quad A_4 = \begin{pmatrix} 1 & 1 & 1 & 1 & 1 & 1 \\ 1 & 0 & 0 & 0 & 1 & 0 \\ 0 & 1 & 0 & 0 & 0 & 1 \\ 0 & 0 & 1 & 0 & 1 & 0 \\ 0 & 0 & 0 & 1 & 0 & 1 \end{pmatrix}.$$

(7)

A-超幾何積分, ともよぶ.

## GKZ 超幾何積分のみたす関係式

### Theorem

(GKZ 1989 の系)  $f_r(\beta; z)$  で  $\beta$  の整数シフトをうまく  $r = \text{vol}(\text{conv}(A))$  個選んで長さ  $r$  の縦ベクトル  $F$  を作る. この時

$$\begin{aligned} \frac{\partial F}{\partial z_j} &= P_j(\beta, z)F, \quad j = 1, \dots, N & (8) \\ \frac{\partial P_j}{\partial z_i} + P_j P_i &= \frac{\partial P_i}{\partial z_j} + P_i P_j \end{aligned}$$

をみたす  $\beta, z$  の有理式を成分とする  $r \times r$  行列  $P_i$  が存在する.

Pfaffian 方程式 (8)

Pfaffian 行列  $P_i$

Pfaffian 方程式は master integrals の関係式にほかならない

物理 (既存): “integration by parts identity” (1981–), システム LiteRed (2012) など.

最近 GKZ との関係が注目されはじめた.

Tai-Fu Feng, Chao-Hsi Chang, Jian-Bin Chen, and Hai-Bin Zhang.

GKZ-hypergeometric systems for Feynman integrals, 2020.

René Pascal Klausen. Hypergeometric Series Representations of Feynman Integrals by GKZ Hypergeometric Systems, 2020

A. Klemm, C. Nega and R. Safari, The  $l$ -loop Banana Amplitude from GKZ Systems and relative Calabi-Yau Periods, 2020

などなど.

Pierre Vanhove 先生の講演より

数学	物理
数値評価	physical region での数値評価
local monodromy	$S$ 行列の unitarity
contiguity relations, Pfaffian eq	IBP (integration by parts) relations

1. 解空間の基底 (となる積分) : master integrals
2. ??? : cut integral

余談: Spencer Bloch, Pierre Vanhove, The elliptic dilogarithm for the sunset graph,

<https://doi.org/10.1016/j.jnt.2014.09.032> (2014),

<https://arxiv.org/abs/1309.5865>

GKZ は  $f_1$  が満たす高階連立線形偏微分方程式系を導出. GKZ 超幾何方程式系 ( $A$  超幾何方程式系)  $H_A(\beta)$ .

$$\text{Ker}(A) = \left\{ u = (u_1, \dots, u_N) \in \mathbb{Z}^N \mid \sum_{j=1}^N u_j a_j = 0 \right\}. \quad (9)$$

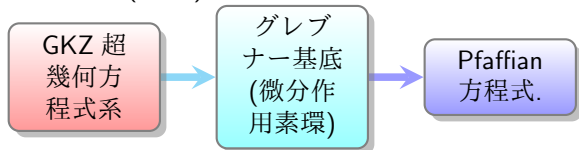
$$E_j = \sum_{i=1}^N a_{j,i} z_i \frac{\partial}{\partial z_i} - \beta_j, \quad j = 1, \dots, n+1 \quad (10)$$

$$\square_u = \prod_{u_i > 0} \left( \frac{\partial}{\partial z_i} \right)^{u_i} - \prod_{u_i < 0} \left( \frac{\partial}{\partial z_i} \right)^{-u_i}, \quad \forall u \in \text{Ker}(A). \quad (11)$$

$\square_u$  の生成するイデアルは toric ideal  $I_A$ .

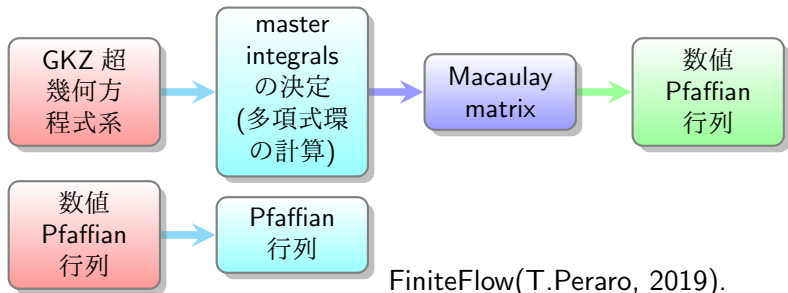
問題: GKZ の Pfaffian 方程式を求めるアルゴリズム?

計算代数 (既存):



問題点: 非可換の微分作用素環の計算なので master integrals の個数 = holonomic rank = Pfaffian 行列のサイズ, が 10 程度まで.

新手法 (非可換性の排除)[イタリア amp group と 松原-T]



FiniteFlow(T.Peraro, 2019).

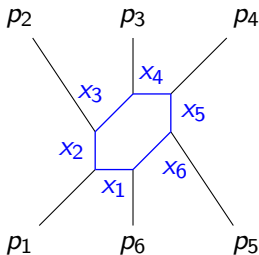
<http://www.math.kobe-u.ac.jp/OpenXM/Math/amp-MM/>

<https://arxiv.org/abs/2204.12983>



## Example

massless hexagon model: master integrals の個数が 33 個. 数値 Pfaffian 行列の導出が  $15.549s + 0.66s$ .



## master integrals の決定

$\partial_i = \frac{\partial}{\partial z_i}$ .  $\text{in}_{\prec}(I_A)$  の生成元は  $\prod_{i=1}^N \partial_i^{k_i}$  と書ける. これの *distraction* を

$$\prod_{i=1}^N \partial_i(\partial_i - 1) \cdots (\partial_i - k_i + 1). \quad (12)$$

と定義.  $\mathbb{C}[\partial_1, \dots, \partial_N]$  で計算.

### Theorem

[Hibi-Nishiyama-T (2017)] 多項式環  $\mathbb{C}[\partial_1, \dots, \partial_N]$  において上記 *distraction* と (10) できまる一次式達  $E_j|_{z=(1, \dots, 1)}$  のグレブナー基底の *standard monomials* 達が *master integrals* を与える.

## Macaulay 行列

Ohara-T (2015), Macaulay matrix. 今回 Small Macaulay matrix を導入して効率化.

Macaulay matrix とは?

### Example

$A = (1, 2)$ .

$$z_1 \partial_1 + 2z_2 \partial_2 - \beta_1 =: E \quad (13)$$

$$\underline{\partial_1^2} - \partial_2 \quad (14)$$

$\partial_1$	$\partial_2^2$	$\partial_1 \partial_2$	$\partial_2$	1	
$z_1$	0	0	$-2z_1$	$\beta_1$	$E$
0	$2z_2$	$z_1$	$\beta_1 - 2$	0	$\partial_2 E$
$1 - \beta_1$	0	$2z_2$	$-z_1$	0	$\partial_1 E$

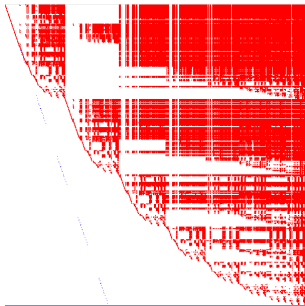
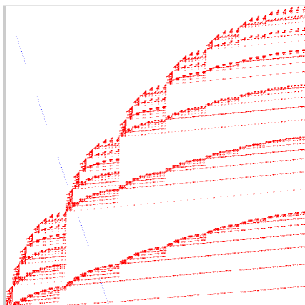
$$\partial_2 E = z_1 \partial_1 \partial_2 + 2z_2 \partial_2^2 + 2\partial_2 - \beta_1 \partial_2$$

## Example

One loop box model: 3 non-zero masses.  $481 \times 1395$  matrix.

The rank is 481. The holonomic rank = (number of the master integrals) is 14.

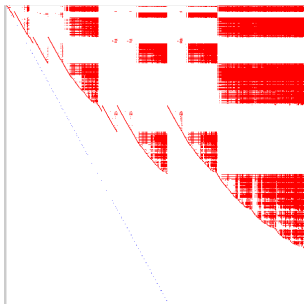
Left: input sparse linear equations. Right: row reduced echelon form (RREF).



## Example

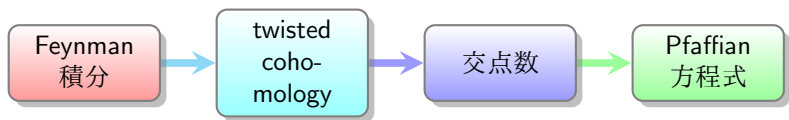
4 cycle model (factorizable でない graphical model) の exact sampler:

degree 4 Macaulay matrix (MM) の転置は  $10886 \times 20020$  行列.  
Holonomic rank = 64. rank of MM = 8869.



MM' の RREF. MM の構成に約 6h. MM' の RREF (有限体で), Pfaffian を決めるのに十分かの確認に約 1d8h.

Twisted cohomology から master integrals の関係式 (Pfaffian 行列)



物理:

FGLMMMM, Decomposition of Feynman integrals by multivariate intersection numbers, 2008.

P.Mastrolia, S.Mizera, Feynman integrals and intersection theory, 2019.

S.Mizera, A.Pokraka, From infinity to four dimensions: higher residue pairings and Feynman integrals, 2019.

など.

数学: 松本圭司, 後藤, 松原, 他 ( $F_A$ ,  $E_{k,n}$ , ...)

$$X := \{(z, x) \in \mathbb{A}^N \times (\mathbb{G}_m)^n \mid g(z; x) \neq 0\} \quad , \quad Y := \mathbb{A}^N, \quad (15)$$

$$\Omega_{X/Y}^k = \bigoplus_{J \subset \{1, \dots, n\}, |J|=k} \mathcal{O}(X) dx^J \quad (16)$$

$$\nabla_x = d_x + \beta_0 \frac{d_x g(z; x)}{g(z; x)} \wedge - \sum_{i=1}^n \beta_i \frac{dx_i}{x_i} \wedge . \quad (17)$$

次の複体 (complex,  $\nabla_x \nabla_x = 0$ ) を得る.

$$\dots \xrightarrow{\nabla_x} \Omega_{X/Y}^k \xrightarrow{\nabla_x} \Omega_{X/Y}^{k+1} \xrightarrow{\nabla_x} \dots . \quad (18)$$

$k$  次の *relative de Rham cohomology group* は

$$\mathbb{H}^k := \text{Ker } \nabla_x : \Omega_{X/Y}^k \longrightarrow \Omega_{X/Y}^{k+1} / \text{Im } \nabla_x : \Omega_{X/Y}^{k-1} \longrightarrow \Omega_{X/Y}^k . \quad (19)$$

## GKZ 系の cohomology

### Theorem

(GKZ, 1990)  $\beta$  が *non-resonant*. 次の同型あり.

$$\mathcal{D}_N/H_A(\beta) \simeq \mathbb{H}^n \quad (20)$$

ここで  $[1] \in \mathcal{D}_N/H_A(\beta)$  と  $[\frac{dx}{x}] \in \mathbb{H}^n$  が対応.

交点数とは (松本圭司ら, 1994-)

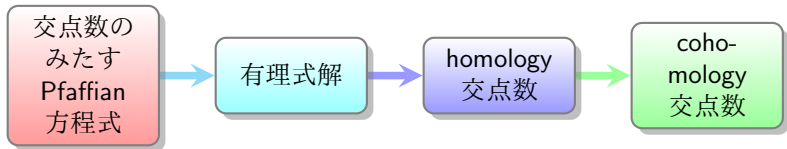
$\beta \rightarrow -\beta$  とした  $\nabla_x^\vee$  の cohomology を  $\mathbb{H}^{\vee k}$ .

$$\mathbb{H}^n \times \mathbb{H}^{\vee n} \rightarrow \mathbb{C}(\beta, z) \quad (21)$$

大体  $\int_X \omega \wedge \omega^\vee$ ,  $\omega \in \mathbb{H}^n$ ,  $\omega^\vee \in \mathbb{H}^{\vee n}$ .



## 新手法 (交点数の計算アルゴリズム)[松原-T]



### Theorem

[松原-T, 2020,2021, 松原 2019, 松原/後藤 2020]

1. 定理の式 (20) の同型を任意の  $\mathbb{H}^n$  の元に対して構成するアルゴリズムあり.
2. 交点数行列  $I_{ch}$  は *secondary equation* の有理式解.

$$\partial_i I_{ch} = P_i \cdot I_{ch} + I_{ch} \cdot (P_i^\vee)^T, \quad i = 1, \dots, N; \quad (22)$$

3. この解は 1 次元分しかない. 定数の不定性をきめるアルゴリズムあり.

## 今後の問題

1.  $z_i$  を物理で意味のある領域に制限 (夏休みの宿題). D-加群の制限.
2.  $\delta \rightarrow 0$ .
3. 係数が巨大な式になっている ODE や 差分方程式をどう数値的に扱うか? (計算グラフ上の計算代数の問題意識とも共通).
4. 次世代計算代数システム (いろいろな代数, 数値計算との統合, いろいろなシステム...)

## まとめ

物理で周期積分, intersection number, GKZ, ... Feynman diagram.  
数学の立場から興味をもってもらうきっかけとなれば.